

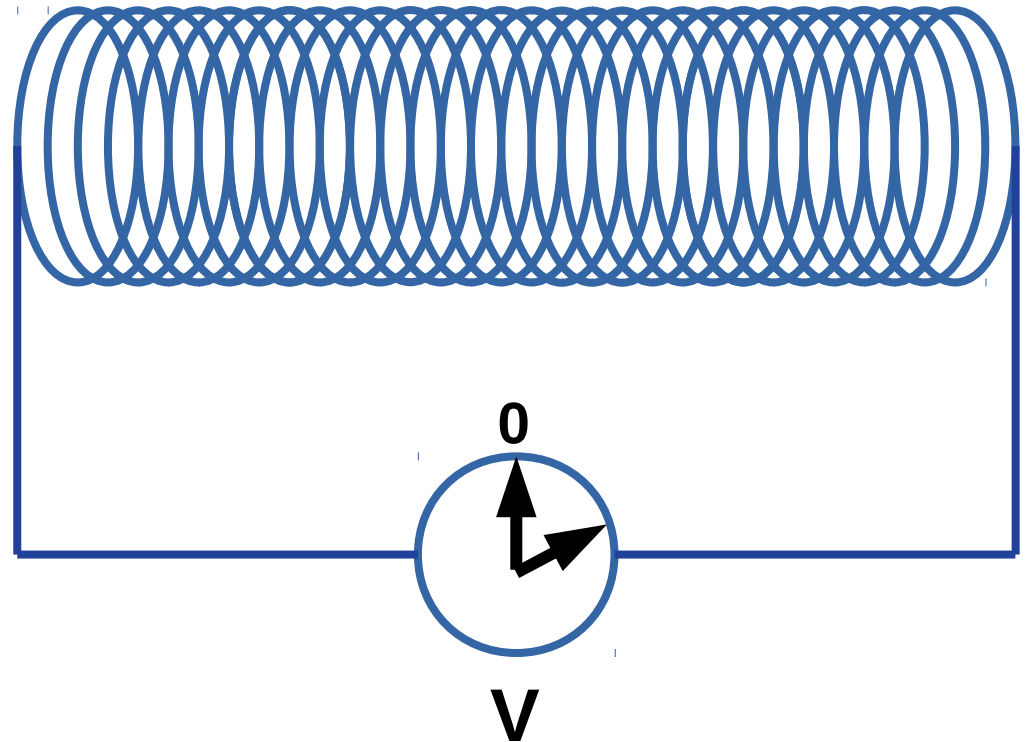
Physique - Électromagnétisme

Chapitre 5 – Induction électromagnétique

- I – Loi d'induction
- II – Exemple d'application
- III – Self-induction et induction mutuelle
- IV – Les origines locales de la loi de Faraday

Induction électromagnétique :

Phénomène qui conduit à l'apparition d'une force électromotrice (f.e.m.) dans un conducteur.



Si le conducteur est fermé => apparition d'un courant induit

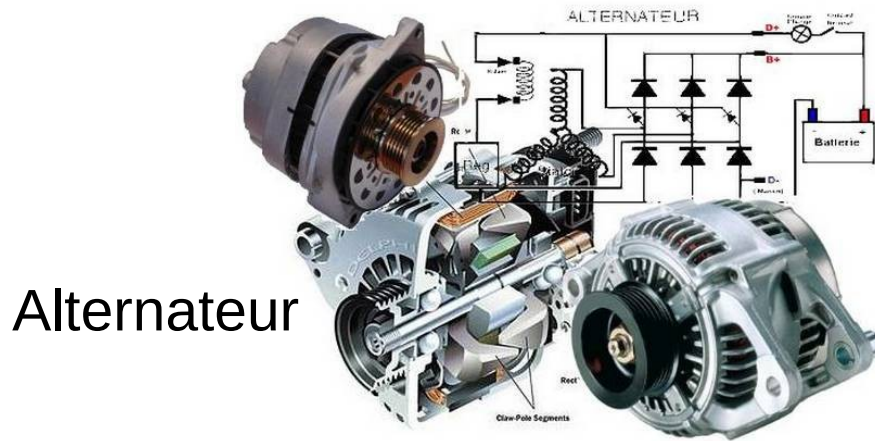
3 types d'inductions :

- Cas de Lorentz : conducteur en mouvement dans un champ magnétique constant
- Cas de Neumann : conducteur fixe dans un champ magnétique variable.
- la réunion des deux...

Inducteurs : Les champs responsables du phénomène ainsi que les dispositifs qui en sont la source.

Induits : La f.e.m., les courants éventuels et les systèmes dans lesquels ils apparaissent.

Production d'électricité



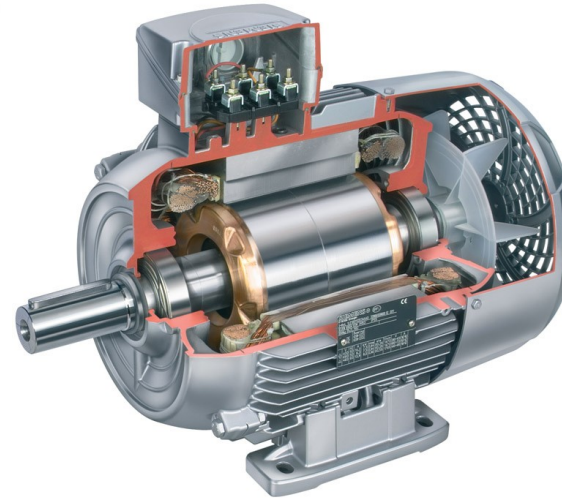
Alternateur

230V → 24V



Transformateur

Génération de mouvement



Moteur électrique

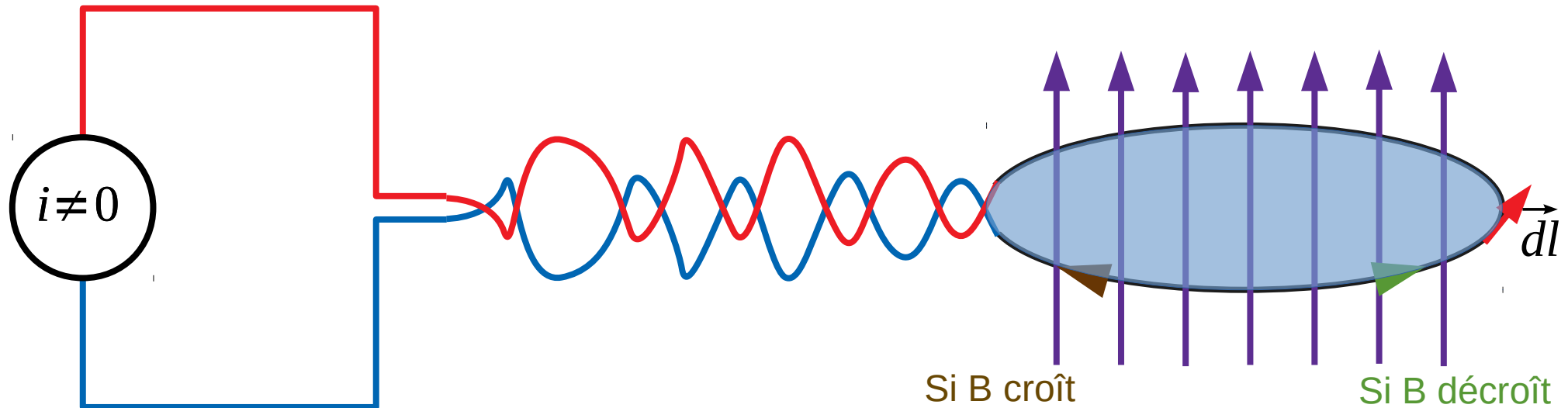
Chauffage



Plaque à induction

I – Loi d'induction – 3. Loi d'induction

Circuit fermé dans un champ d'induction magnétique



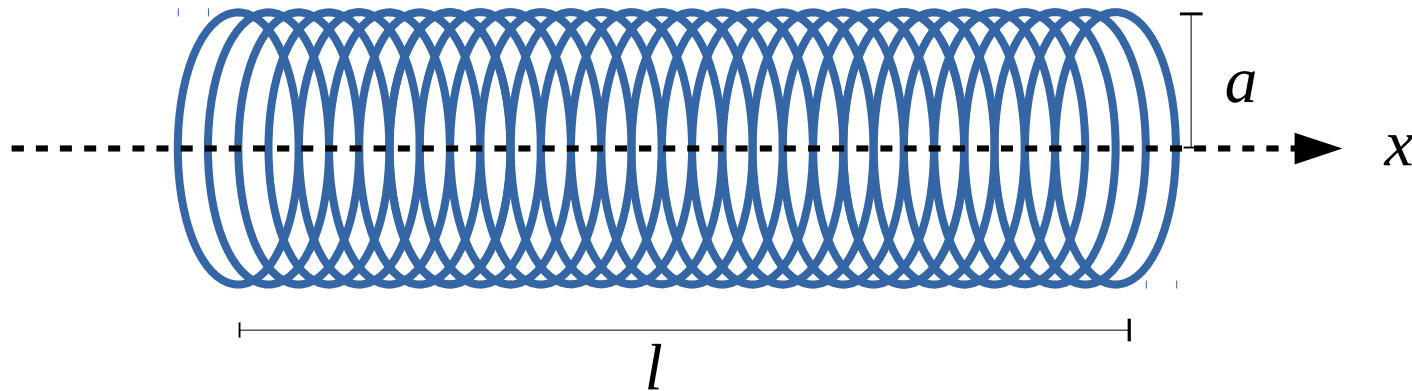
$$e = - \frac{d\Phi_B}{dt}$$

Loi de Faraday

Loi de Lentz : la f.e.m. e s'oppose toujours à la cause $\frac{d\Phi_B}{dt}$

II – Exemple d'application – 1. Approche simple

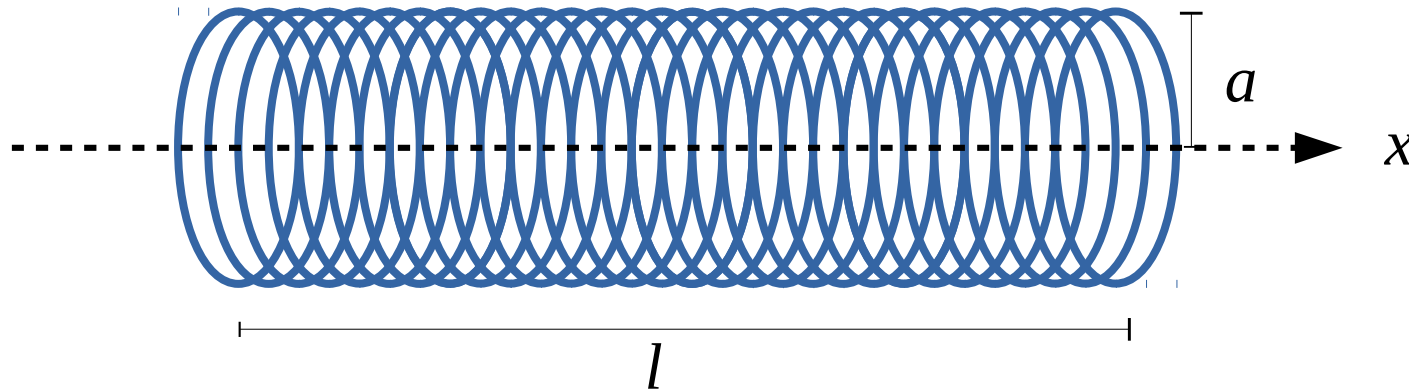
Considérons un solénoïde « infini » ($a \ll l$)
de résistance électrique R



Champ magnétique uniforme et variable dans le temps :

$$\vec{B}_0(t) = B_{0,m} \cos \omega t \vec{u}_x$$

II – Exemple d'application – 1. Approche simple



Pour une spire, le flux $\phi_B(t)$ de $\vec{B}_0(t)$:

$$\phi_B(t) = B_0 \pi a^2$$

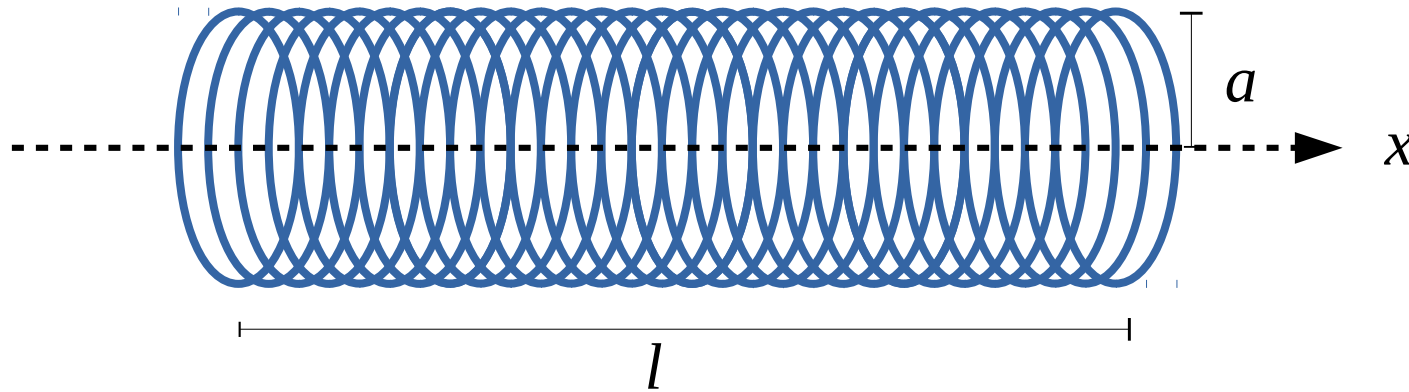
Pour le solénoïde complet :

$$\Phi_B(t) = N \phi_B = N B_0 \pi a^2$$

On en déduit la f.e.m. :

$$e = \frac{-d\Phi_B}{dt} = N \pi a^2 B_{0,m} \omega \sin \omega t$$

II – Exemple d'application – 1. Approche simple



En appliquant la loi d'Ohm :

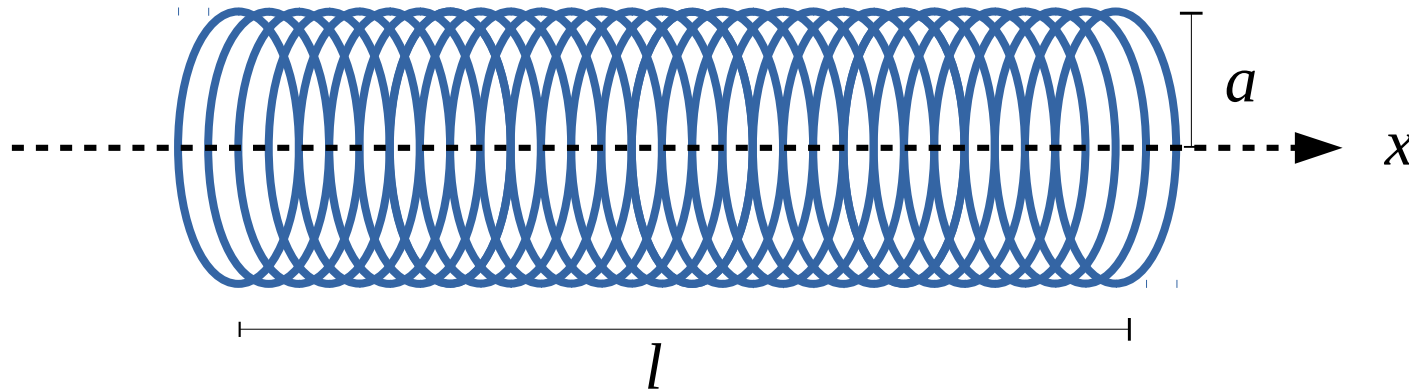
$$i(t) = \frac{N \pi a^2 B_{0,m} \omega}{R} \sin \omega t$$

Le courant ainsi induit va à son tour créer le champ $\vec{B}_1(t)$

$$\vec{B}_1(t) = \mu_0 \frac{N}{l} i(t) \vec{u}_x$$

$$\vec{B}_1(t) = \frac{\mu_0 N^2 \pi a^2 \omega}{l R} B_{0,m} \sin \omega t \vec{u}_x$$

II – Exemple d'application – 2. Traitement rigoureux



Le champ total est la somme des champs :

$$\vec{B}_{tot}(t) = \vec{B}_0(t) + \vec{B}_2(t)$$

Où : $\vec{B}_2(t)$ est la contribution apportée par l'ensemble des phénomènes d'induction (induction « simple » + auto-induction)

$$\vec{B}_2(t) = \mu_0 \frac{N}{l} i(t) \vec{u}_x$$

II – Exemple d'application – 2. Traitement rigoureux

La loi de Faraday nous donne :

$$e(t) = -N \pi a^2 \left(-B_{0,m} \omega \sin \omega t + \frac{dB_2}{dt} \right)$$

A partir de la loi d'Ohm :

$$e(t) = \frac{l R}{\mu_0 N} B_2(t)$$

On obtient l'équation différentielle suivante :

$$\frac{dB_2}{dt} + \frac{1}{\tau} B_2 = \omega B_{0,m} \sin \omega t$$

Avec :

$$\frac{1}{\tau} = \frac{l R}{\mu_0 N^2 \pi a^2}$$

II – Exemple d'application – 2. Traitement rigoureux

Solution de la forme :

$$B_2(t) = \alpha \cos \omega t + \beta \sin \omega t$$

La résolution de l'équation différentielle donne :

$$\begin{cases} -\omega \alpha + \frac{\beta}{\tau} = \omega B_{0,m} \\ \frac{\alpha}{\tau} + \omega \beta = 0 \end{cases}$$

$$\Rightarrow \alpha = \frac{-\tau \omega}{\tau \omega + \frac{1}{\tau \omega}} B_{0,m} \quad \beta = \frac{1}{\tau \omega + \frac{1}{\tau \omega}} B_{0,m}$$

Soit :

$$B_2(t) = \frac{B_{0,m}}{\tau \omega + \frac{1}{\tau \omega}} (-\tau \omega \cos \omega t + \sin \omega t)$$

II – Exemple d'application – 2. Traitement rigoureux

* Cas où $\tau \omega \gg 1$ (très hautes fréquences ou très petites résistances)

$$\tau \omega + \frac{1}{\tau \omega} \sim \tau \omega \quad \Rightarrow \tau \omega |\cos \omega t| \gg |\sin \omega t|$$

$$\boxed{\vec{B}_2(t) = -\vec{B}_0(t)}$$

Phénomène d'induction et d'auto-induction très fort allant jusqu'à l'annulation du champ magnétique total dans le solénoïde.

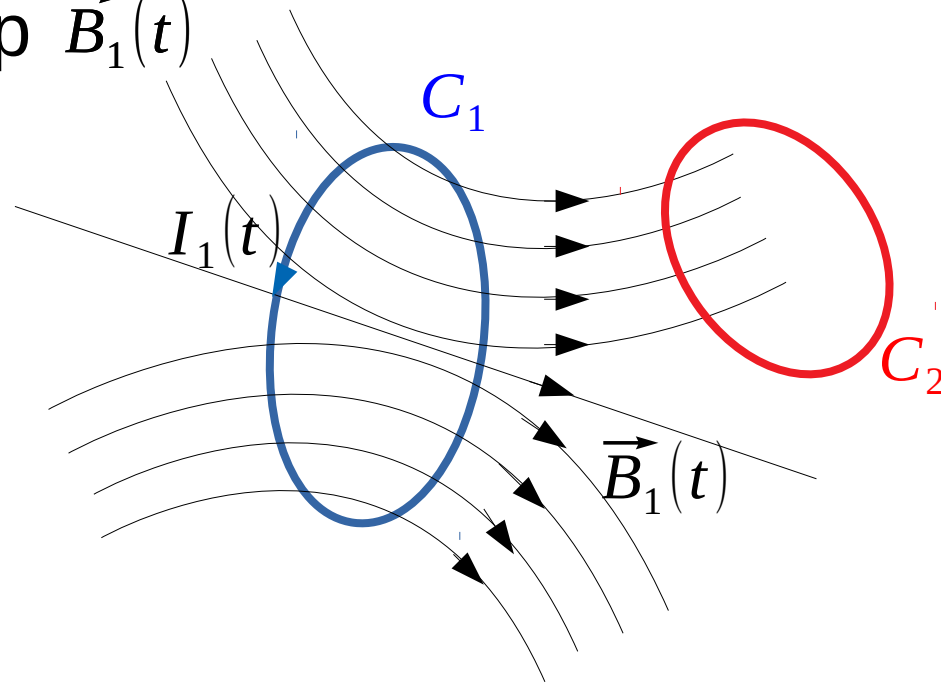
* Cas où $\tau \omega \ll 1$ (basses fréquences ou grandes résistances)

$$\tau \omega + \frac{1}{\tau \omega} \sim \frac{1}{\tau \omega} \quad \Rightarrow \tau \omega |\cos \omega t| \ll |\sin \omega t|$$

$$\boxed{\vec{B}_2(t) = \frac{\mu_0 N^2 \pi a^2}{l R} \omega \vec{B}_0(t)}$$

On retrouve le cas de la méthode simple

Soit un circuit C_1 parcouru par un courant $I_1(t)$ produisant un champ $\vec{B}_1(t)$



On peut définir les flux :

$$\Phi_{11} = \oint_{C_1} \vec{B}_1 \cdot \vec{n}_1 dS_1$$

$$\Phi_{12} = \oint_{C_2} \vec{B}_1 \cdot \vec{n}_2 dS_2$$

La proportionnalité du champ B_1 et donc des flux magnétiques avec le courant I_1 (loi de Biot et Savart) conduit à définir deux coefficients qui ne dépendent que de la géométrie des circuits

On appelle coefficient de self-inductance L d'un circuit le rapport :

$$L_1 = \frac{\Phi_{11}}{I_1}$$

Unité : le Henry

$$1\text{ H} = 1\text{ V}\cdot\text{s}\cdot\text{A}^{-1}$$

Parfois appelé l'inductance propre, l'auto-inductance ou le coefficient d'auto-induction

On appelle coefficient de mutuelle inductance M entre deux circuits le rapport :

$$M = \frac{\Phi_{12}}{I_1}$$

Unité : le Henry

$$1\text{ H} = 1\text{ V}\cdot\text{s}\cdot\text{A}^{-1}$$

Ce coefficient caractérise le couplage magnétique entre les deux circuits

Si le circuit C_2 est à son tour parcouru par un courant I_2 , on peut aussi définir :

$$L_1 = \frac{\Phi_{22}}{I_2}$$

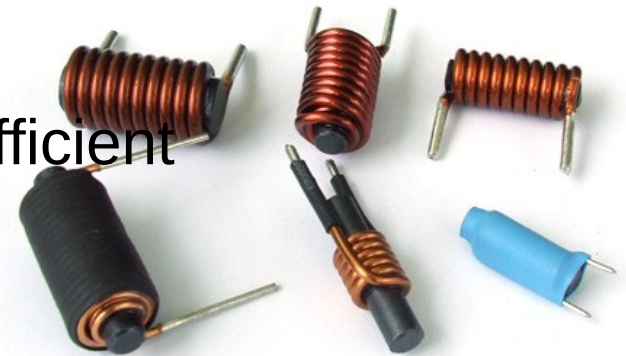
$$M = \frac{\Phi_{21}}{I_2}$$

L'égalité suivante peut être démontrée :

$$\frac{\Phi_{12}}{I_1} = \frac{\Phi_{21}}{I_2}$$

L'inductance est un composant possédant un coefficient de self-induction L .

Il est très utilisé en électronique et en électricité



IV – Les origines locales de la loi de Faraday

Seconde loi de l'électrostatique n'est plus valable

$$\oint \vec{E} \cdot d\vec{l} = e \neq 0$$

Avec la loi de Faraday :

$$\oint \vec{E} \cdot d\vec{l} = -\frac{d\Phi_B}{dt} = -\frac{d}{dt} \iint \vec{B} \cdot \vec{n} dS$$

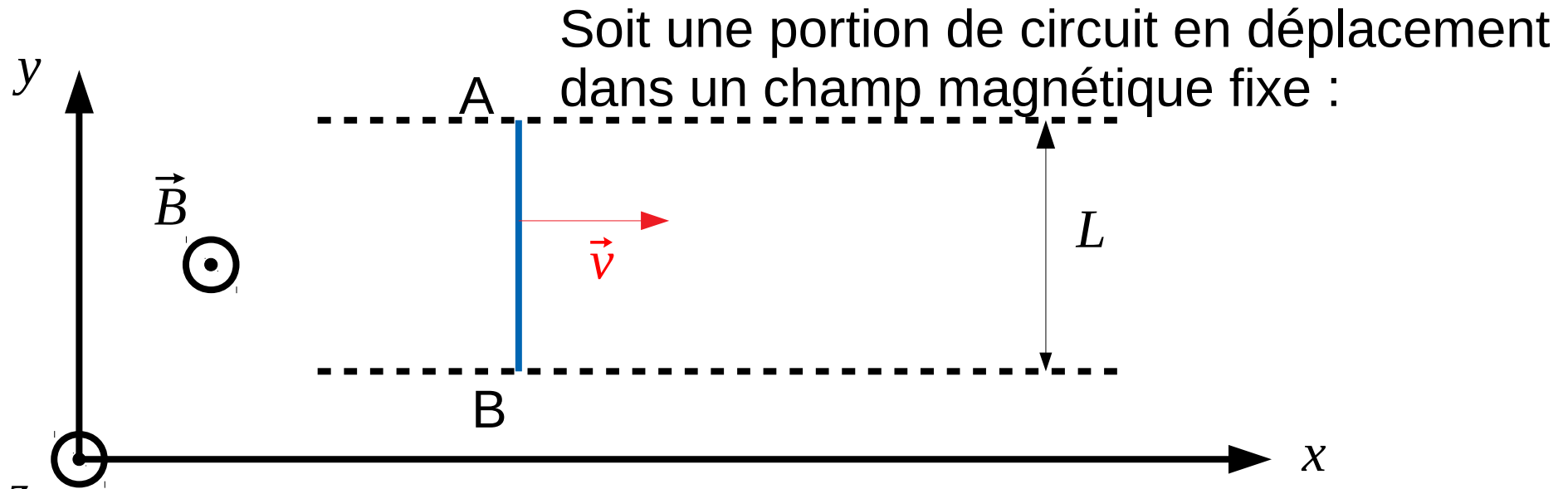
En utilisant le théorème de Stokes :

$$\iint \vec{\text{rot}} \vec{E} \cdot \vec{n} dS = -\frac{d}{dt} \iint \vec{B} \cdot \vec{n} dS$$

$$\vec{\text{rot}} \vec{E} = -\frac{\partial \vec{B}}{\partial t}$$

Équation de Maxwell-Faraday

IV – Les origines locales de la loi de Faraday



Les charges vont subir la force de Lorentz :

$$\vec{F} = q(\vec{E} + \vec{v} \wedge \vec{B}) \quad \text{or} \quad \vec{E} = 0$$

$$\Rightarrow \vec{F} = q \vec{v} \wedge \vec{B}$$

On peut définir un champ électrique équivalent :

$$\vec{E}_{eq} = \vec{v} \wedge \vec{B}$$

Ce champ va créer une différence de potentiel :

$$e = \Delta V = \int_A^B \vec{E}_{eq} \cdot d\vec{l}$$

$$e = \Delta V = -B L v$$